



Filtros de microondas

Sergio Llorente Romano, Daniel Segovia Vargas

Dept. de Teoría de la Señal y Comunicaciones
Universidad Carlos III de Madrid

Avda. de la Universidad 30, 28911 Leganés, Madrid

12 de febrero de 2013



Definición: **Cuadripolo lineal**



Definición: Cuadripolo lineal

- Dispositivo de dos puertos con comportamiento selectivo en frecuencia.



Definición: Cuadripolo lineal

- Dispositivo de dos puertos con comportamiento selectivo en frecuencia.
 - ▶ (Casi) Transparente en la banda de paso.
 - ▶ (Casi) Opaco para en la banda atenuada.
 - ▶ Modifica la fase de la señal según su frecuencia.



Definición: Cuadripolo lineal

- Dispositivo de dos puertos con comportamiento selectivo en frecuencia.
 - ▶ (Casi) Transparente en la banda de paso.
 - ▶ (Casi) Opaco para en la banda atenuada.
 - ▶ Modifica la fase de la señal según su frecuencia.

Tipos de filtros:

- Activos.
- Pasivos.
 - ▶ Tipo RC .
 - ▶ Reactivos, sin pérdidas, o tipo LC .
 - ▶ ...
- ...



Definición: Cuadripolo lineal

- Dispositivo de dos puertos con comportamiento selectivo en frecuencia.
 - ▶ (Casi) Transparente en la banda de paso.
 - ▶ (Casi) Opaco para en la banda atenuada.
 - ▶ Modifica la fase de la señal según su frecuencia.

Tipos de filtros:

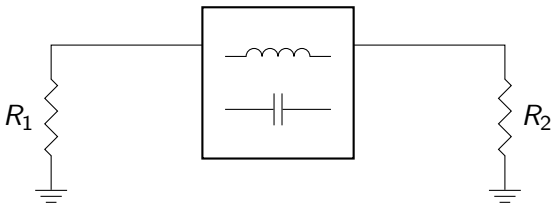
- Activos.
- Pasivos.
 - ▶ Tipo RC .
 - ▶ Reactivos, sin pérdidas, o tipo LC .
 - ▶ ...
- ...



Cuadripolos doblemente cargados

Cuadripolos de potencia, cargados en ambos accesos

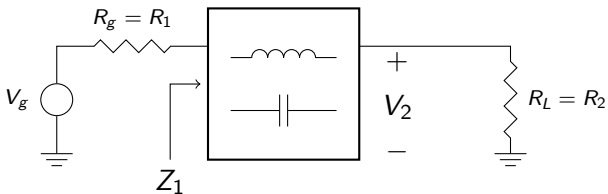
- **Carga** en cada lado \Rightarrow generación/consumo de potencia.
- **Transferencia de potencia** de un lado al otro del cuadripolo.



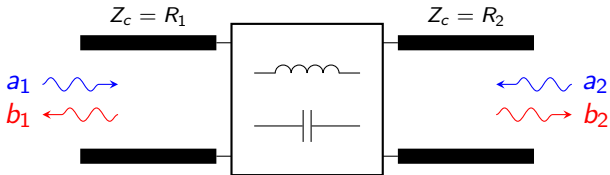


Ejemplos de cuadripolos doblemente cargados

- Circuito de elementos concentrados

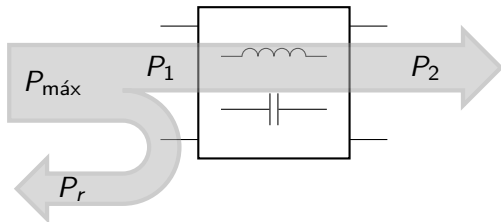


- Circuito de microondas.



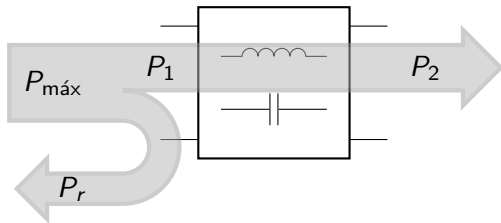


Potencias involucradas





Potencias involucradas

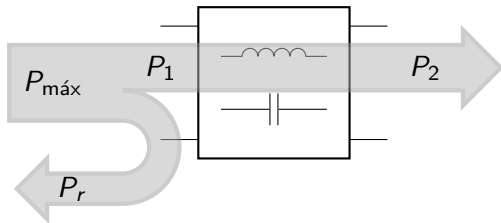


Funciones de transferencia

- $|H|^2 = \frac{P_2}{P_{\text{máx}}} \Rightarrow H = 2\sqrt{\frac{R_1}{R_2}} \frac{V_2}{V_g} = \frac{b_2}{a_1} = S_{21}$
- $|\rho|^2 = \frac{P_r}{P_{\text{máx}}} \Rightarrow \rho = \frac{Z_1 - R_1}{Z_1 + R_1} = \frac{b_1}{a_1} = S_{11}$



Potencias involucradas



Funciones de transferencia

- $|H|^2 = \frac{P_2}{P_{\text{máx}}} \Rightarrow H = 2\sqrt{\frac{R_1}{R_2}} \frac{V_2}{V_g} = \frac{b_2}{a_1} = S_{21}$
- $|\rho|^2 = \frac{P_r}{P_{\text{máx}}} \Rightarrow \rho = \frac{Z_1 - R_1}{Z_1 + R_1} = \frac{b_1}{a_1} = S_{11}$

Ecuación de Feldtkeller

$$P_1 = P_2 = P_{\text{máx}} - P_r \Rightarrow |H|^2 + |\rho|^2 = 1 \Rightarrow |H|^2 = \frac{1}{1 + \left|\frac{\rho}{H}\right|^2}$$



Función característica

Definición $F_c(\omega^2)$

$$F_c(\omega^2) \triangleq \left| \frac{\rho(\omega)}{H(\omega)} \right|^2 = \frac{P_r}{P_2}$$

$$|H|^2 = \frac{1}{1 + F_c}$$

Propiedades:

- Función racional real par: $F_c = F_c(\omega^2) = \frac{N(\omega^2)}{M(\omega^2)}$.



Función característica

Definición $F_c(\omega^2)$

$$F_c(\omega^2) \triangleq \left| \frac{\rho(\omega)}{H(\omega)} \right|^2 = \frac{P_r}{P_2}$$

$$|H|^2 = \frac{1}{1 + F_c}$$

Propiedades:

- Función racional real par: $F_c = F_c(\omega^2) = \frac{N(\omega^2)}{M(\omega^2)}$.
- $0 \leq F_c(\omega^2) \leq \infty$.

$$F_c(\omega_{a,i}^2) = 0 \Leftrightarrow \alpha(\omega_{a,i}) = 0 \text{ dB. Ceros de reflexión.}$$

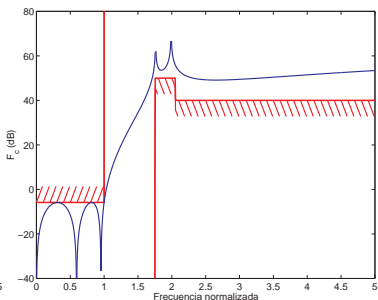
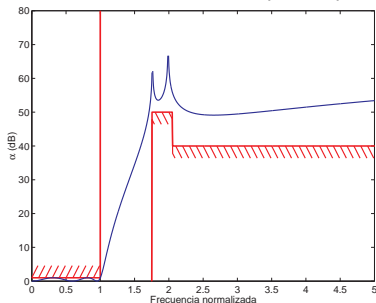
$$F_c(\omega_{z,i}^2) \rightarrow \infty \Leftrightarrow \alpha(\omega_{z,i}) \rightarrow \infty \text{ dB. Ceros de transmisión.}$$

$$F_c(\omega_c^2) = 1 \Leftrightarrow \alpha(\omega_c) \simeq 3 \text{ dB.}$$



Ventajas de aproximar $F_c(\omega^2)$

- Fácil visualización de las características de la banda de paso (ceros) y la banda atenuada (polos).



- Ceros de reflexión suelen estar situados en el eje $j\omega$
- Ceros de tx. en filtros de fase mínima están siempre en el eje $j\omega$.
- El cálculo de ceros y polos de $F_c(\omega^2)$ es un problema unidimensional.



Desventajas de aproximar $F_c(\omega^2)$

- Sólo es útil para diseñar respuestas **en amplitud**.
- Para cumplir especificaciones en **fase** ($\text{Arg}\{H(s)\}$) o en el dominio del tiempo $h(t) = \mathcal{L}^{-1}\{H(s)\}$, es necesario sintetizar directamente $H(s)$.



Definición

Todos los ceros de transmisión y los ceros de atenuación (o ceros de reflexión) están en el eje $j\omega$.

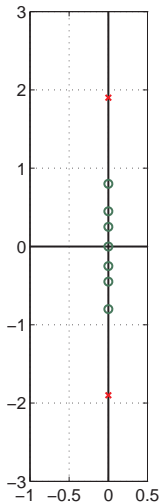
$$F_c(\omega^2) = K^2 \omega^{2n_0} \frac{\prod_{i=1}^L (\omega^2 - \omega_{a,i}^2)^2}{\prod_{n=1}^M (\omega^2 - \omega_{z,i}^2)^2}$$



Definición

Todos los ceros de transmisión y los ceros de atenuación (o ceros de reflexión) están en el eje $j\omega$.

$$F_c(\omega^2) = K^2 \omega^{2n_0} \frac{\prod_{i=1}^L (\omega^2 - \omega_{a,i}^2)^2}{\prod_{n=1}^M (\omega^2 - \omega_{z,i}^2)^2}$$





Orden del filtro, N

$$\text{Si } F_c(\omega^2) = \frac{N(\omega^2)}{M(\omega^2)}$$

- Orden de la aproximación: grado del polinomio N o del polinomio M .
- Número total de ceros de transmisión (incluyendo los que pueda haber en $\omega \rightarrow \infty$.)
- Número total de ceros de reflexión (incluyendo los que pueda haber en $\omega \rightarrow \infty$.)
- Complejidad mínima de síntesis: número mínimo de elementos LC .



Aproximaciones paso bajo de Butterworth y de Chebychev

Aproximación de orden N del filtro paso bajo donde:

- $\alpha = -10 \log_{10} |H|^2 = 10 \log_{10}(1 + Fc)$
- $\alpha(\omega) < \alpha_p$, si $|\omega| < \omega_p$

Butterworth: maximal. plana

- N ceros de tx. en $\omega \rightarrow \infty$.

Chebychev: equirrizada



Aproximaciones paso bajo de Butterworth y de Chebychev

Aproximación de orden N del filtro paso bajo donde:

- $\alpha = -10 \log_{10} |H|^2 = 10 \log_{10}(1 + Fc)$
- $\alpha(\omega) < \alpha_p$, si $|\omega| < \omega_p$

Butterworth: maximal. plana

- N ceros de tx. en $\omega \rightarrow \infty$.
- N ceros de reflexion. en $\omega = 0$.

Chebychev: equirrizada



Aproximaciones paso bajo de Butterworth y de Chebychev

Aproximación de orden N del filtro paso bajo donde:

- $\alpha = -10 \log_{10} |H|^2 = 10 \log_{10}(1 + Fc)$
- $\alpha(\omega) < \alpha_p$, si $|\omega| < \omega_p$

Butterworth: maximal. plana

- N ceros de tx. en $\omega \rightarrow \infty$.
- N ceros de reflexion. en $\omega = 0$.
- $Fc = K\left(\frac{\omega}{\omega_p}\right)^{2N}$.

Chebychev: equirrizada



Aproximaciones paso bajo de Butterworth y de Chebychev

Aproximación de orden N del filtro paso bajo donde:

- $\alpha = -10 \log_{10} |H|^2 = 10 \log_{10}(1 + Fc)$
- $\alpha(\omega) < \alpha_p$, si $|\omega| < \omega_p$

Butterworth: maximal. plana

- N ceros de tx. en $\omega \rightarrow \infty$.
- N ceros de reflexion. en $\omega = 0$.
- $Fc = K \left(\frac{\omega}{\omega_p}\right)^{2N}$.
- $K = 10^{\alpha_p/10} - 1$

Chebychev: equirrizada



Aproximaciones paso bajo de Butterworth y de Chebychev

Aproximación de orden N del filtro paso bajo donde:

- $\alpha = -10 \log_{10} |H|^2 = 10 \log_{10}(1 + Fc)$
- $\alpha(\omega) < \alpha_p$, si $|\omega| < \omega_p$

Butterworth: maximal. plana

- N ceros de tx. en $\omega \rightarrow \infty$.
- N ceros de reflexion. en $\omega = 0$.
- $Fc = K \left(\frac{\omega}{\omega_p}\right)^{2N}$.
- $K = 10^{\alpha_p/10} - 1$

Chebychev: equirrizada

- N ceros de tx. en $\omega \rightarrow \infty$.



Aproximaciones paso bajo de Butterworth y de Chebychev

Aproximación de orden N del filtro paso bajo donde:

- $\alpha = -10 \log_{10} |H|^2 = 10 \log_{10}(1 + Fc)$
- $\alpha(\omega) < \alpha_p$, si $|\omega| < \omega_p$

Butterworth: maximal. plana

- N ceros de tx. en $\omega \rightarrow \infty$.
- N ceros de reflexion. en $\omega = 0$.
- $Fc = K \left(\frac{\omega}{\omega_p}\right)^{2N}$.
- $K = 10^{\alpha_p/10} - 1$

Chebychev: equirrizada

- N ceros de tx. en $\omega \rightarrow \infty$.
- N ceros de reflexion distribuidos en $|\omega| < \omega_p$.



Aproximaciones paso bajo de Butterworth y de Chebychev

Aproximación de orden N del filtro paso bajo donde:

- $\alpha = -10 \log_{10} |H|^2 = 10 \log_{10}(1 + Fc)$
- $\alpha(\omega) < \alpha_p$, si $|\omega| < \omega_p$

Butterworth: maximal. plana

- N ceros de tx. en $\omega \rightarrow \infty$.
- N ceros de reflexion. en $\omega = 0$.
- $Fc = K \left(\frac{\omega}{\omega_p}\right)^{2N}$.
- $K = 10^{\alpha_p/10} - 1$

Chebychev: equirrizada

- N ceros de tx. en $\omega \rightarrow \infty$.
- N ceros de reflexion distribuidos en $|\omega| < \omega_p$.
- $Fc = \epsilon^2 T_N^2\left(\frac{\omega}{\omega_p}\right)$.



Aproximaciones paso bajo de Butterworth y de Chebychev

Aproximación de orden N del filtro paso bajo donde:

- $\alpha = -10 \log_{10} |H|^2 = 10 \log_{10}(1 + Fc)$
- $\alpha(\omega) < \alpha_p$, si $|\omega| < \omega_p$

Butterworth: maximal. plana

- N ceros de tx. en $\omega \rightarrow \infty$.
- N ceros de reflexion. en $\omega = 0$.
- $Fc = K \left(\frac{\omega}{\omega_p}\right)^{2N}$.
- $K = 10^{\alpha_p/10} - 1$

Chebychev: equirrizada

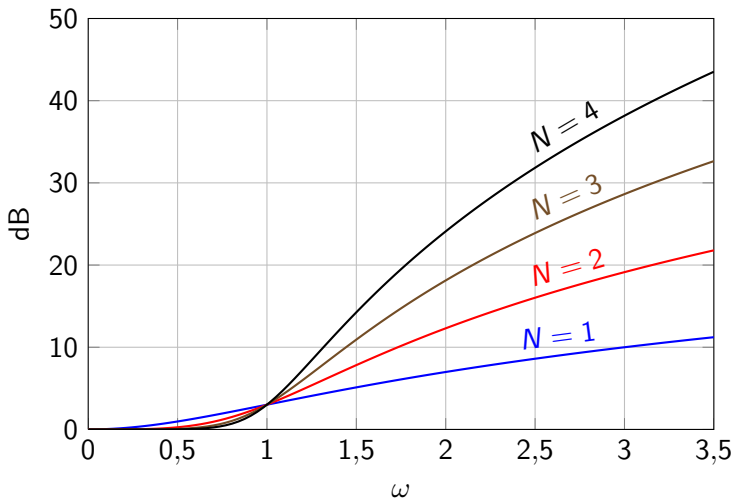
- N ceros de tx. en $\omega \rightarrow \infty$.
- N ceros de reflexion distribuidos en $|\omega| < \omega_p$.
- $Fc = \epsilon^2 T_N^2\left(\frac{\omega}{\omega_p}\right)$.
- $\epsilon^2 = 10^{\alpha_p/10} - 1$



Aproximaciones de Butterworth

$$\omega_p = 1, \alpha_p = 3 \text{ dB}$$

$$\alpha(\omega) = \left| \frac{1}{H} \right|_{\text{dB}} = 10 \log_{10}(1 + \omega^{2N})$$





Aproximación de Chebyshev

Polinomios de Chebyshev: $T_N(x)$

Polinomios acotados en $[-1, 1]$ que más rápidamente crecen en $|x| > 1$

Expresión explícita

$$T_n(x) = \begin{cases} \cos(n \arccos(x)) & |x| < 1 \\ \cosh(n \operatorname{arccosh}(x)) & |x| > 1 \end{cases}$$

Expresión recursiva

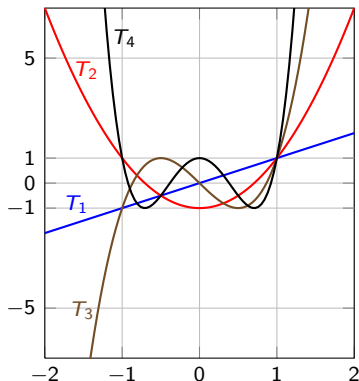
$$T_{n+1}(x) = 2xT_n(x) - T_{n-1}(x)$$

Ejemplos

$$T_0(x) = 1$$

$$T_1(x) = x$$

$$T_2(x) = x^2 - 1$$

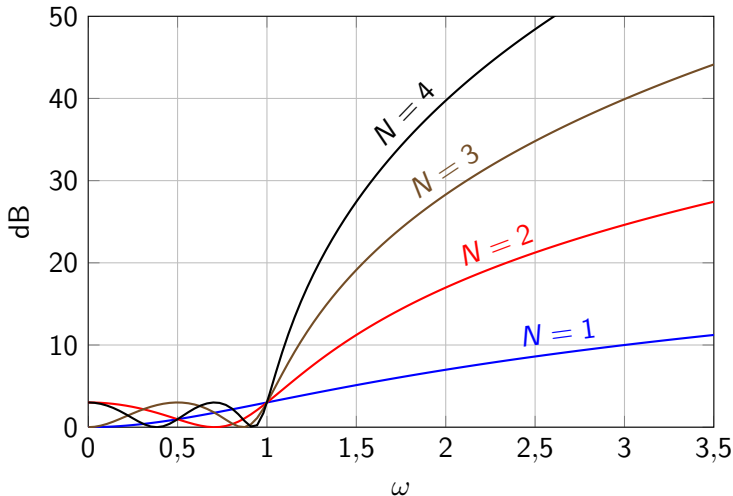




Aproximaciones de Chebychev

$$\omega_p = 1, \alpha_p = 3 \text{ dB}$$

$$\alpha(\omega) = \left| \frac{1}{H} \right|_{\text{dB}} = 10 \log_{10}(1 + T_N^2(\omega))$$

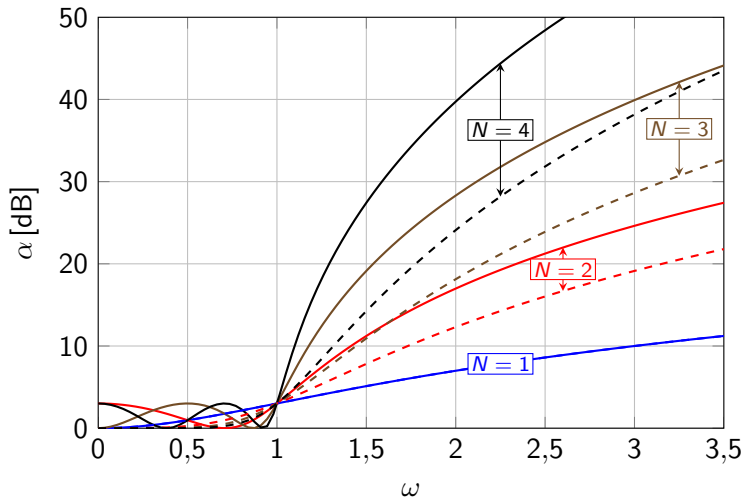




Chebyshev vs. Butterworth

$$\omega_p = 1, \alpha_p = 3 \text{ dB}$$

$$\alpha_{\text{Cheb}}(\omega \gg 1) \simeq \alpha_{\text{Butt}}(\omega \gg 1) + 6(N - 1) \text{ dB}$$

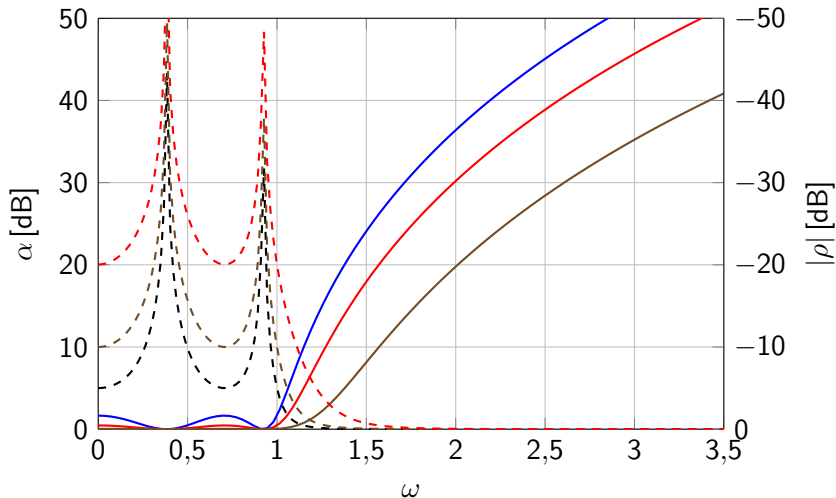




Chebyshev con diferentes rizados

$$\omega_p = 1, N = 4$$

$$\alpha_{\epsilon^2} - \alpha_{\epsilon'^2} |_{\omega \gg 1} \simeq 10 \log_{10} \frac{\epsilon^2}{\epsilon'^2} \simeq |\rho|_{\text{dB}}^2 - |\rho'|_{\text{dB}}^2$$

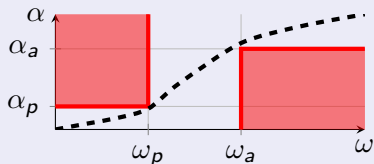




Fórmulas de Diseño

Filtros paso bajo de Butterworth y Chebychev

Especificaciones



Definiciones: Selectividad y discriminación

$$K_S = \frac{\omega_p}{\omega_a}$$

$$K_D = \sqrt{\frac{10^{\alpha_p/10} - 1}{10^{\alpha_a/10} - 1}} = \sqrt{\frac{F_C(\omega_p)}{F_C(\omega_a)}}$$

Butterworth

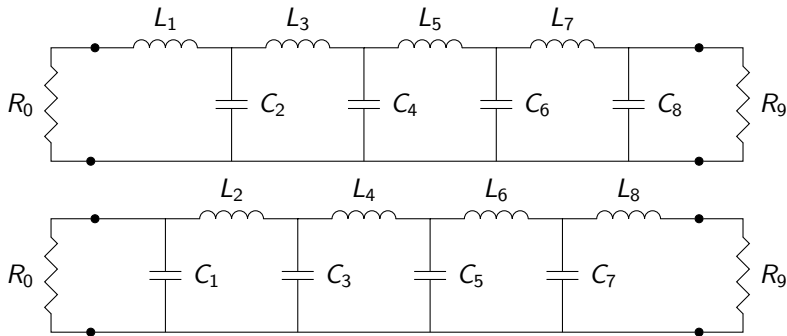
$$N \geq \frac{\log(1/K_D)}{\log(1/K_S)}$$

Chebychev

$$N \geq \frac{\operatorname{acosh}(1/K_D)}{\operatorname{acosh}(1/K_S)}$$

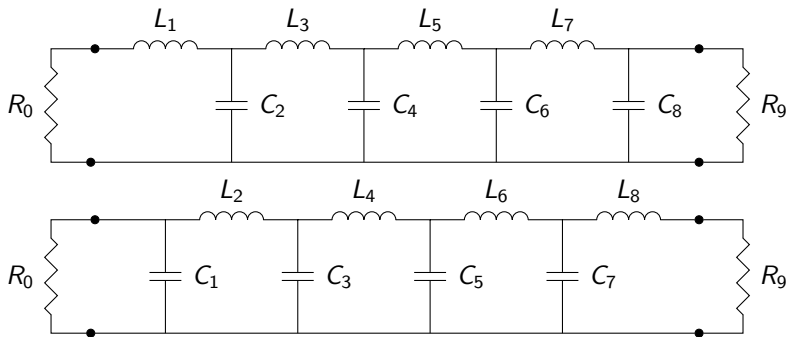


Filtros LC en escalera





Filtros LC en escalera



Circuitos de N elementos con respuestas de orden N donde sus N ceros de transmisión están en $\omega \rightarrow \infty$



Diseños tabulados: Prototipos de Butterworth

Diseños normalizados: $\omega_p = 1$, $\alpha_p = 3 \text{ dB}$

$$\alpha = 10 \log_{10}(1 + \omega^{2N})$$

$$\forall N \quad g_0 = 1, \omega_{3 \text{ dB}} = 1$$

N	g_1	g_2	g_3	g_4	g_5	g_6	g_7	g_8
1	2.0000	1.0000						
2	1.4142	1.4142	1.0000					
3	1.0000	2.0000	1.0000	1.0000				
4	0.7654	1.8478	1.8478	0.7654	1.0000			
5	0.6180	1.6180	2.0000	1.6180	0.6180	1.0000		
6	0.5176	1.4142	1.9319	1.9319	1.4142	0.5176	1.0000	
7	0.4450	1.2470	1.8019	2.0000	1.8019	1.2470	0.4450	1.0000

- $R_0 = g_0 \Omega$
- $C_i = g_i F$, $i = 1, 3, \dots$
- $L_i = g_i H$, $i = 2, 4, \dots$
- $\begin{cases} N \text{ impar: } C_N = g_N F; R_{N+1} = g_{N+1} \Omega \\ N \text{ par: } L_N = g_N H; R_{N+1}^{-1} = g_{N+1} \Omega \end{cases}$

- $R_0^{-1} = g_0 \Omega$
- $L_i = g_i H$, $i = 1, 3, \dots$
- $C_i = g_i F$, $i = 2, 4, \dots$
- $\begin{cases} N \text{ impar: } L_N = g_N H; R_{N+1}^{-1} = g_{N+1} \Omega \\ N \text{ par: } L_N = g_N H; R_{N+1} = g_{N+1} \Omega \end{cases}$



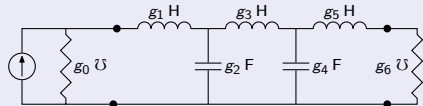
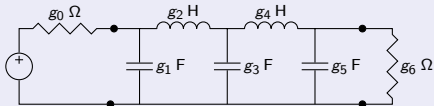
Diseños tabulados: Prototipos de Butterworth

Diseños normalizados: $\omega_p = 1$, $\alpha_p = 3 \text{ dB}$

$$\alpha = 10 \log_{10}(1 + \omega^{2N})$$

$$\forall N \quad g_0 = 1, \omega_{3 \text{ dB}} = 1$$

N	g_1	g_2	g_3	g_4	g_5	g_6	g_7	g_8
1	2.0000	1.0000						
2	1.4142	1.4142	1.0000					
3	1.0000	2.0000	1.0000	1.0000				
4	0.7654	1.8478	1.8478	0.7654	1.0000			
5	0.6180	1.6180	2.0000	1.6180	0.6180	1.0000		
6	0.5176	1.4142	1.9319	1.9319	1.4142	0.5176	1.0000	
7	0.4450	1.2470	1.8019	2.0000	1.8019	1.2470	0.4450	1.0000





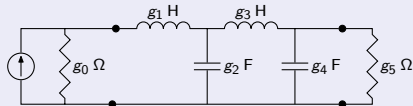
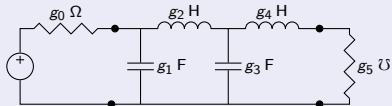
Diseños tabulados: Prototipos de Butterworth

Diseños normalizados: $\omega_p = 1$, $\alpha_p = 3 \text{ dB}$

$$\alpha = 10 \log_{10}(1 + \omega^{2N})$$

$$\forall N \quad g_0 = 1, \omega_{3 \text{ dB}} = 1$$

N	g_1	g_2	g_3	g_4	g_5	g_6	g_7	g_8
1	2.0000	1.0000						
2	1.4142	1.4142	1.0000					
3	1.0000	2.0000	1.0000	1.0000				
4	0.7654	1.8478	1.8478	0.7654	1.0000			
5	0.6180	1.6180	2.0000	1.6180	0.6180	1.0000		
6	0.5176	1.4142	1.9319	1.9319	1.4142	0.5176	1.0000	
7	0.4450	1.2470	1.8019	2.0000	1.8019	1.2470	0.4450	1.0000





Diseños tabulados: Prototipos de Chebychev I

Diseños normalizados: $\omega_p = 1$

$$\alpha = 10 \log_{10}(1 + \epsilon^2 T_N^2(\omega))$$

$\forall N \ g_0 = 1, \omega_p = 1, \alpha_p = 0,005 \text{ dB}, \epsilon^2 = 0,0012, |\rho|_p = -29,8 \text{ dB}$

n	g_1	g_2	g_3	g_4	g_5	g_6	g_7	g_8
1	0.0679	1.0000						
2	0.3748	0.3502	1.0702					
3	0.5502	0.8968	0.5502	1.0000				
4	0.6352	1.1407	1.2208	0.5935	1.0702			
5	0.6801	1.2554	1.4899	1.2554	0.6801	1.0000		
6	0.7063	1.3167	1.6119	1.5062	1.4092	0.6599	1.0702	
7	0.7226	1.3532	1.6764	1.6166	1.6764	1.3532	0.7226	1.0000

$\forall N \ g_0 = 1, \omega_p = 1, \alpha_p = 0,01 \text{ dB}, \epsilon^2 = 0,0023, |\rho|_p = -26,4 \text{ dB}$

n	g_1	g_2	g_3	g_4	g_5	g_6	g_7	g_8
1	0.0960	1.0000						
2	0.4489	0.4078	1.1007					
3	0.6292	0.9703	0.6292	1.0000				
4	0.7129	1.2004	1.3213	0.6476	1.1007			
5	0.7563	1.3049	1.5773	1.3049	0.7563	1.0000		
6	0.7814	1.3600	1.6897	1.5350	1.4970	0.7098	1.1007	
7	0.7969	1.3924	1.7481	1.6331	1.7481	1.3924	0.7969	1.0000



Diseños tabulados: Prototipos de Chebychev II

Diseños normalizados: $\omega_p = 1$

$$\alpha = 10 \log_{10}(1 + \epsilon^2 T_N^2(\omega))$$

$$\forall N \quad g_0 = 1, \omega_p = 1, \alpha_p = 0,05 \text{ dB} \quad \epsilon^2 = 0,0116, |\rho|_p = -19,4 \text{ dB}$$

n	g_1	g_2	g_3	g_4	g_5	g_6	g_7	g_8
1	0.2152	1.0000						
2	0.6923	0.5585	1.2396					
3	0.8794	1.1132	0.8794	1.0000				
4	0.9588	1.2970	1.6078	0.7734	1.2396			
5	0.9984	1.3745	1.8283	1.3745	0.9984	1.0000		
6	1.0208	1.4141	1.9183	1.5475	1.7529	0.8235	1.2396	
7	1.0346	1.4369	1.9637	1.6162	1.9637	1.4369	1.0346	1.0000

$$\forall N \quad g_0 = 1, \omega_p = 1, \alpha_p = 0,1 \text{ dB} \quad \epsilon^2 = 0,0233, |\rho|_p = -16,4 \text{ dB}$$

n	g_1	g_2	g_3	g_4	g_5	g_6	g_7	g_8
1	0.3052	1.0000						
2	0.8430	0.6220	1.3554					
3	1.0316	1.1474	1.0316	1.0000				
4	1.1088	1.3062	1.7704	0.8181	1.3554			
5	1.1468	1.3712	1.9750	1.3712	1.1468	1.0000		
6	1.1681	1.4040	2.0562	1.5171	1.9029	0.8618	1.3554	
7	1.1812	1.4228	2.0967	1.5734	2.0967	1.4228	1.1812	1.0000



Diseños tabulados: Prototipos de Chebychev III

Diseños normalizados: $\omega_p = 1$

$$\alpha = 10 \log_{10}(1 + \epsilon^2 T_N^2(\omega))$$

$\forall N \ g_0 = 1, \omega_p = 1, \alpha_p = 0,5 \text{ dB} \ \epsilon^2 = 0,1220, |\rho|_p = -9,6 \text{ dB}$

n	g_1	g_2	g_3	g_4	g_5	g_6	g_7	g_8
1	0.6986	1.0000						
2	1.4029	0.7071	1.9841					
3	1.5963	1.0967	1.5963	1.0000				
4	1.6703	1.1926	2.3661	0.8419	1.9841			
5	1.7058	1.2296	2.5408	1.2296	1.7058	1.0000		
6	1.7254	1.2479	2.6064	1.3137	2.4758	0.8696	1.9841	
7	1.7373	1.2582	2.6383	1.3443	2.6383	1.2582	1.7373	1.0000

$\forall N \ g_0 = 1, \omega_p = 1, \alpha_p = 1 \text{ dB} \ \epsilon^2 = 0,25, |\rho|_p = -6,8 \text{ dB}$

n	g_1	g_2	g_3	g_4	g_5	g_6	g_7	g_8
1	1.0177	1.0000						
2	1.8219	0.6850	2.6597					
3	2.0236	0.9941	2.0236	1.0000				
4	2.0991	1.0644	2.8311	0.7892	2.6597			
5	2.1349	1.0911	3.0009	1.0911	2.1349	1.0000		
6	2.1546	1.1041	3.0634	1.1518	2.9367	0.8101	2.6597	
7	2.1666	1.1115	3.0936	1.1735	3.0936	1.1115	2.1666	1.0000



Diseños tabulados: Prototipos de Chebychev IV

Diseños normalizados: $\omega_p = 1$

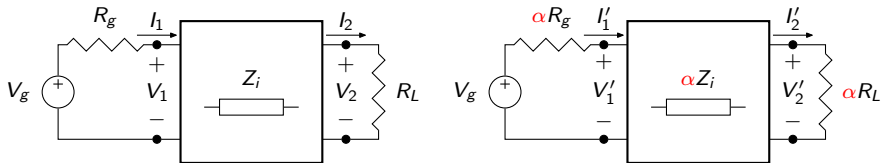
$$\alpha = 10 \log_{10}(1 + \epsilon^2 T_N^2(\omega))$$

$\forall N \ g_0 = 1, \omega_p = 1, \alpha_p = 3 \text{ dB} \ \epsilon^2 = 1, |\rho|_p = -3 \text{ dB}$

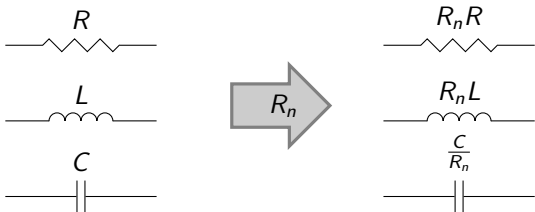
n	g_1	g_2	g_3	g_4	g_5	g_6	g_7	g_8
1	1.9953	1.0000						
2	3.1013	0.5339	5.8089					
3	3.3487	0.7117	3.3487	1.0000				
4	3.4389	0.7483	4.3470	0.5920	5.8089			
5	3.4813	0.7619	4.5375	0.7619	3.4813	1.0000		
6	3.5045	0.7685	4.6061	0.7929	4.4641	0.6033	5.8089	
7	3.5185	0.7722	4.6390	0.8038	4.6390	0.7722	3.5185	1.0000



Normalización de impedancias

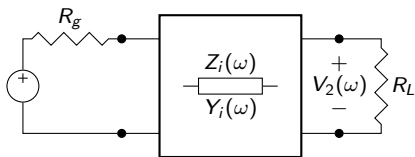
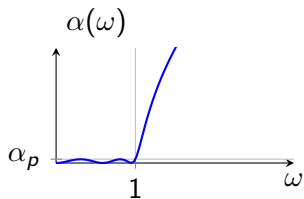


$$\left. \begin{aligned} I'_i &= \frac{I_i}{\alpha} \\ V'_i &= V_i \end{aligned} \right\} \Rightarrow \text{No varía la función de transferencia } H(\omega).$$



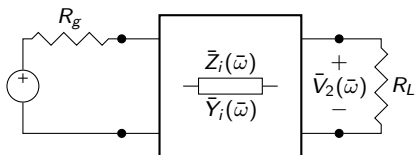
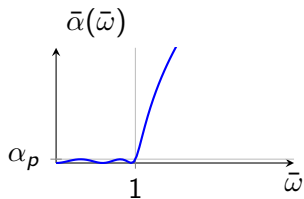


Normalización de frecuencias



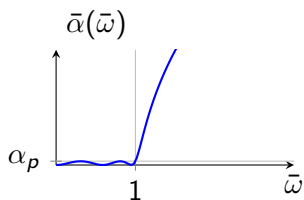


Normalización de frecuencias

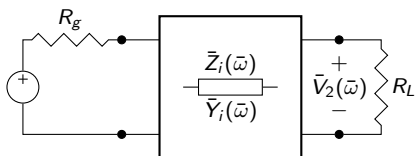
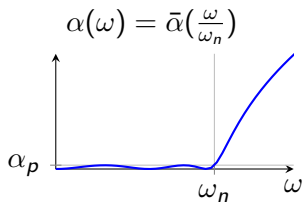




Normalización de frecuencias

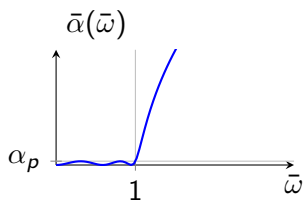


$$\bar{\omega} = \frac{\omega}{\omega_n}$$

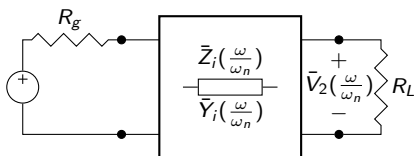
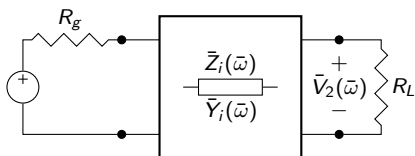
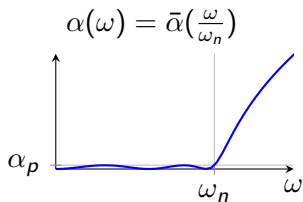




Normalización de frecuencias

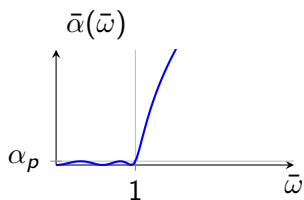


$$\bar{\omega} = \frac{\omega}{\omega_n}$$

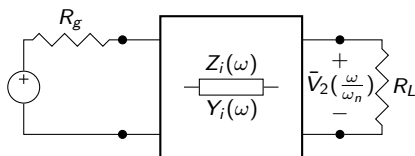
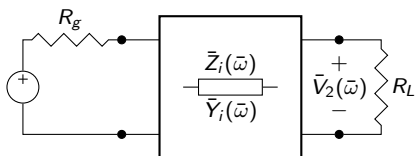
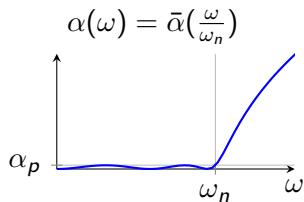




Normalización de frecuencias

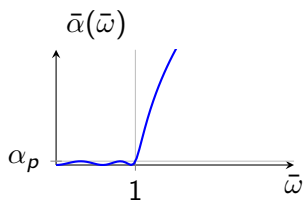


$$\bar{\omega} = \frac{\omega}{\omega_n}$$

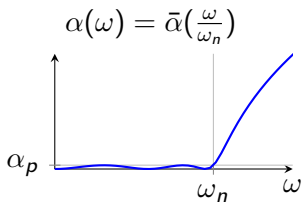




Normalización de frecuencias

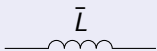


$$\bar{\omega} = \frac{\omega}{\omega_n}$$

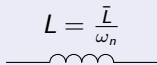


$$\bar{Z}(\bar{\omega}) = \bar{\omega} \bar{L}$$

$$\rightarrow Z(\omega) = \bar{Z}\left(\frac{\omega}{\omega_n}\right) = \frac{\omega}{\omega_n} \bar{L} = \omega \left(\frac{\bar{L}}{\omega_n}\right)$$

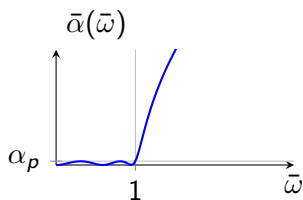


$$\bar{\omega} = \frac{\omega}{\omega_n}$$

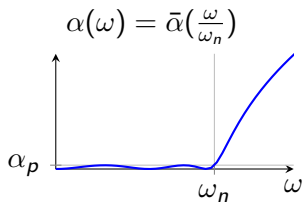




Normalización de frecuencias

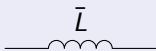


$$\bar{\omega} = \frac{\omega}{\omega_n}$$



$$\bar{Y}(\bar{\omega}) = \bar{\omega} \bar{C}$$

$$\rightarrow Y(\omega) = \bar{Y}\left(\frac{\omega}{\omega_n}\right) = \frac{\omega}{\omega_n} \bar{C} = \omega \left(\frac{\bar{C}}{\omega_n} \right)$$



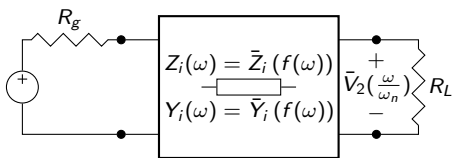
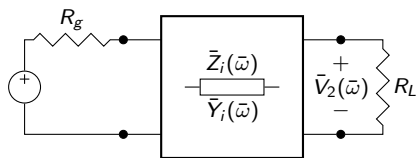
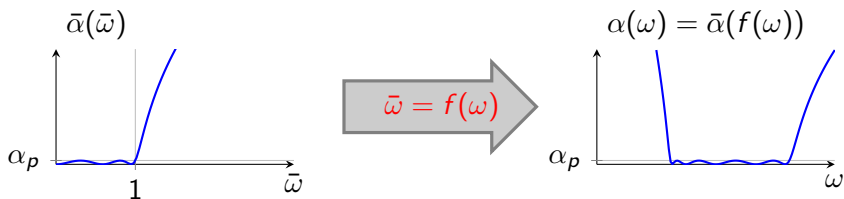
$$\bar{\omega} = \frac{\omega}{\omega_n}$$

$$L = \frac{\bar{L}}{\omega_n}$$

$$C = \frac{\bar{C}}{\omega_n}$$



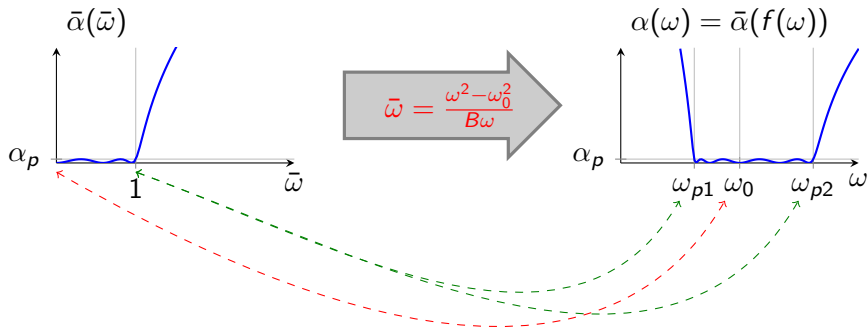
Transformaciones de frecuencia





Transformación paso bajo – Paso banda

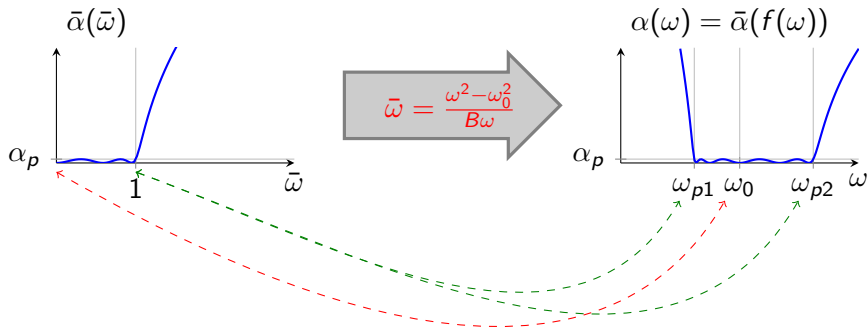
Selección de parámetros





Transformación paso bajo – Paso banda

Selección de parámetros



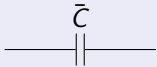
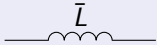
$$\omega_0 = \sqrt{\omega_{p2}\omega_{p1}}$$

$$B = \omega_{p2} - \omega_{p1}$$



Transformación paso bajo – Paso banda

Elementos reactivos

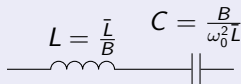
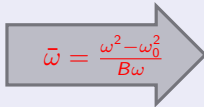


$$\bar{\omega} = \frac{\omega^2 - \omega_0^2}{B\omega}$$



Transformación paso bajo – Paso banda

Elementos reactivos

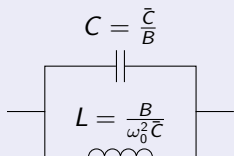
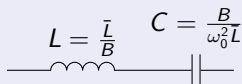
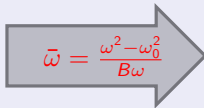
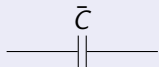
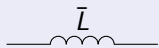


$$\bar{Z}(\bar{\omega}) = j\bar{\omega}\bar{L} \quad \longrightarrow \quad Z(\omega) = j\frac{\omega^2 - \omega_0^2}{B\omega}\bar{L} = j\omega\frac{\bar{L}}{B} + \frac{1}{j\omega\frac{B}{\omega_0^2\bar{L}}}$$



Transformación paso bajo – Paso banda

Elementos reactivos



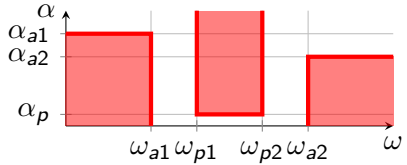
$$\bar{Z}(\bar{\omega}) = j\bar{\omega}\bar{L} \quad \longrightarrow \quad Z(\omega) = j\frac{\omega^2 - \omega_0^2}{B\omega}\bar{L} = j\omega\frac{\bar{L}}{B} + \frac{1}{j\omega\frac{B}{\omega_0^2\bar{L}}}$$

$$\bar{Y}(\bar{\omega}) = j\bar{\omega}\bar{C} \quad \longrightarrow \quad Y(\omega) = j\frac{\omega^2 - \omega_0^2}{B\omega}\bar{C} = j\omega\frac{\bar{C}}{B} + \frac{1}{j\omega\frac{B}{\omega_0^2\bar{C}}}$$



Proceso de diseño de un filtro paso banda

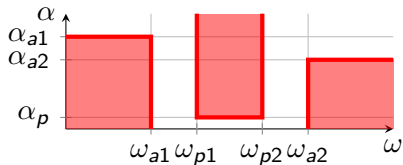
- 1 Definir especificaciones.





Proceso de diseño de un filtro paso banda

- 1 Definir especificaciones.
- 2 Elegir transformación.



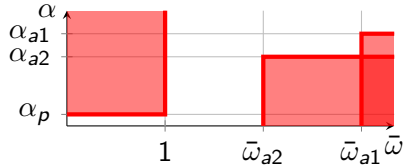
$$\omega_0 = \sqrt{\omega_{p2}\omega_{p1}}$$

$$B = \omega_{p2} - \omega_{p1}$$



Proceso de diseño de un filtro paso banda

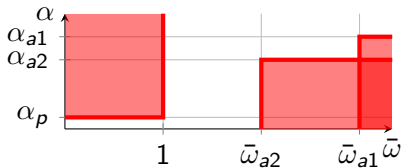
- 1 Definir especificaciones.
- 2 Elegir transformación.
- 3 Transformar especificaciones.





Proceso de diseño de un filtro paso banda

- 1 Definir especificaciones.
- 2 Elegir transformación.
- 3 Transformar especificaciones.
- 4 Elegir aproximación.

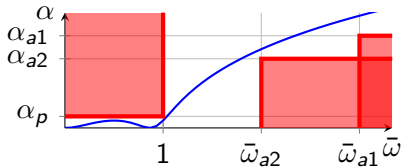


¿N?, ¿Butt. o Cheb u otra?,
¿Rizado?

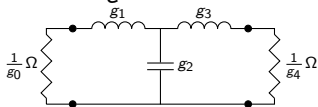


Proceso de diseño de un filtro paso banda

- 1 Definir especificaciones.
- 2 Elegir transformación.
- 3 Transformar especificaciones.
- 4 Elegir aproximación.
- 5 Elegir de prototipo.



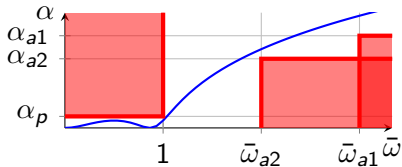
¿N?, ¿Butt. o Cheb u otra?,
¿Rizado?



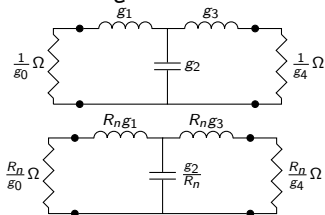


Proceso de diseño de un filtro paso banda

- 1 Definir especificaciones.
- 2 Elegir transformación.
- 3 Transformar especificaciones.
- 4 Elegir aproximación.
- 5 Elegir de prototipo.
- 6 Escalado de impedancias.



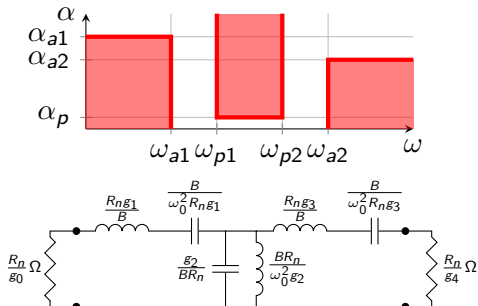
¿N?, ¿Butt. o Cheb u otra?,
¿Rizado?





Proceso de diseño de un filtro paso banda

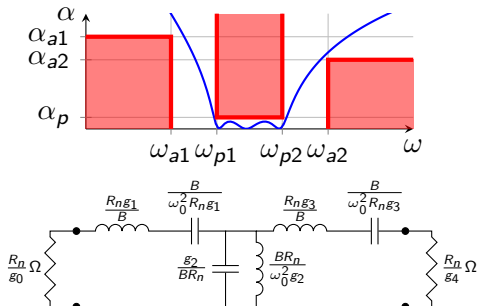
- 1 Definir especificaciones.
- 2 Elegir transformación.
- 3 Transformar especificaciones.
- 4 Elegir aproximación.
- 5 Elegir de prototipo.
- 6 Escalado de impedancias.
- 7 Transformación de frecuencias.





Proceso de diseño de un filtro paso banda

- 1 Definir especificaciones.
- 2 Elegir transformación.
- 3 Transformar especificaciones.
- 4 Elegir aproximación.
- 5 Elegir de prototipo.
- 6 Escalado de impedancias.
- 7 Transformación de frecuencias.
- 8 ¿Adaptación de impedancia de generador/carga?

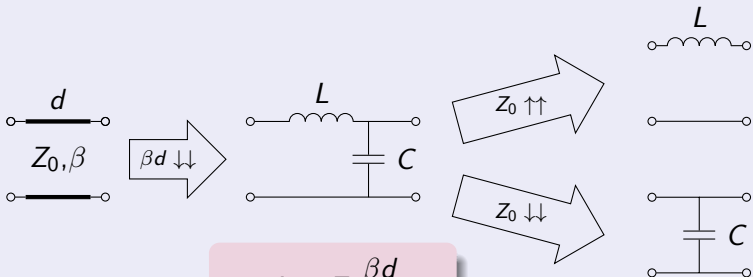




Filtro paso bajo con líneas de transmisión

Filtros de saltos de impedancia

Modelo de línea de transmisión corta: $\beta d < \frac{\pi}{2}$



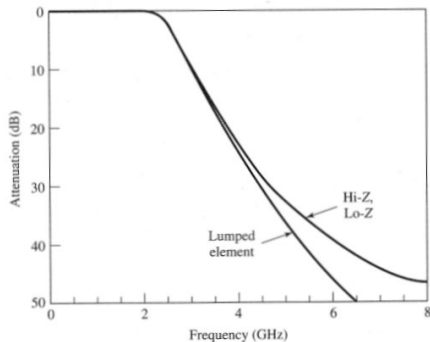
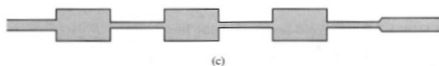
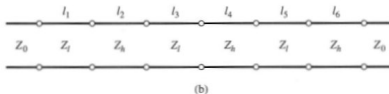
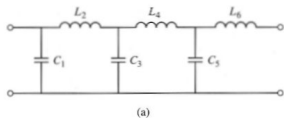
$$L = Z_0 \frac{\beta d}{\omega}$$

$$C = Y_0 \frac{\beta d}{\omega}$$

Filtro paso bajo con líneas de transmisión

Filtros de saltos de impedancia

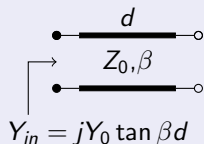
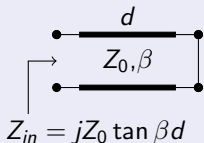
$$\beta \ell_1 = g_1 \frac{Z_\ell}{R_0} = 5.9^\circ,$$



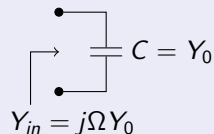
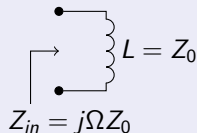


Filtros de elementos conmensurados

Variable de Richard



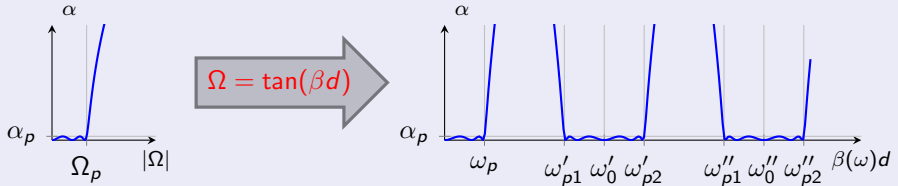
$$\Omega = \tan(\beta(\omega)d)$$





Filtros de elementos conmensurados

Transformación periódica de Richard



$$\beta(\omega_{pi})d = \pm \text{atan}(\Omega_p) + K\pi$$

$$\beta(\omega_0)d = K\pi$$

Paso bajo

$$d = \lambda_p \frac{\text{atan}(\Omega_p)}{2\pi}$$

Paso banda

$$d = \frac{\lambda_0}{2} K$$

$$\Omega_p = \tan \left[\pi d \left(\frac{1}{\lambda_{p2}} - \frac{1}{\lambda_{p1}} \right) \right]$$

Banda eliminada

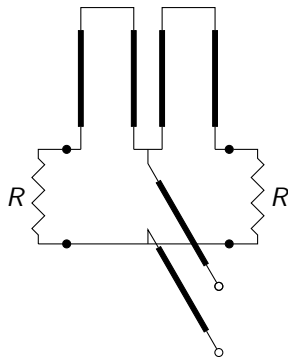
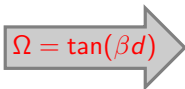
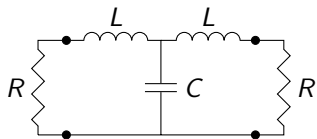
$$d = \frac{\lambda_0}{4} (2K - 1)$$

$$\Omega_p = \cot \left[\pi d \left(\frac{1}{\lambda_{p2}} - \frac{1}{\lambda_{p1}} \right) \right]$$



Filtros de elementos commensurados

Ejemplo

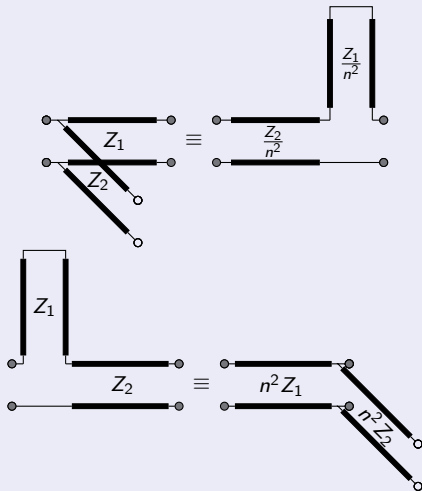




Filtros de elementos conmensurados

Identities of Kuroda

Identities of Kuroda





Filtros de resonadores acoplados

Introducción

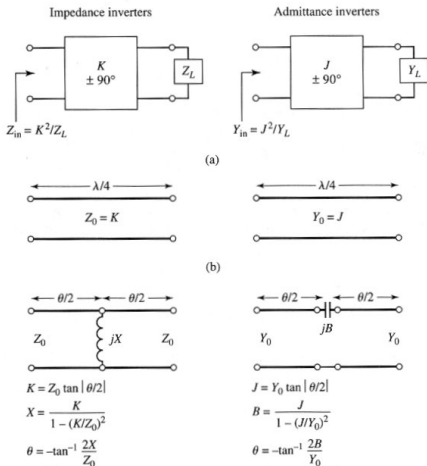
- Resonador: elemento que puede modelarse como un *tanque LC* (serie o paralelo).
- Cada tecnología suele proporcionar un único tipo de conexión:
 - ▶ Conexión serie.
 - ▶ Conexión paralelo.
- Las conexiones entre resonadores se modelan mejor mediante **inversores de impedancia/admitancia**



Inversores de impedancia/admitancia

Definición

Elemento ideal que nos sirve para modelar los acoplos entre resonadores





Definición

Tramos de línea de transmisión cuya longitud es igual a $\lambda/2$ a la frecuencia de resonancia ω_0 .

Equivalencia con el tanque LC

$$LC = \omega_0^2$$

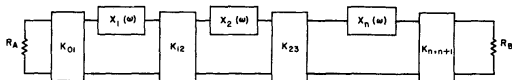
$$\text{Modelado como } LC \text{ serie: } \sqrt{\frac{L}{C}} = Z_0 \frac{\pi}{2}$$

$$\text{Modelado como } LC \text{ paralelo: } \sqrt{\frac{C}{L}} = Y_0 \frac{\pi}{2}$$

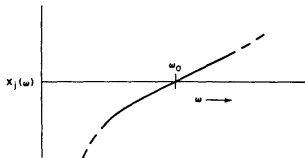


Filtros de cavidades directamente acopladas I

$$\omega'_1 = 1, x_j = \sqrt{L_j/C_j}$$



(a) A GENERALIZED, BAND-PASS FILTER CIRCUIT USING IMPEDANCE INVERTERS



(b) REACTANCE OF jth RESONATOR

8-3527-105

$$\alpha_j = \left. \frac{\omega}{2} \frac{dX_j(\omega)}{d\omega} \right|_{\omega=\omega_0} \quad \text{ohms} \quad (1)$$

= Reactance Slope Parameter

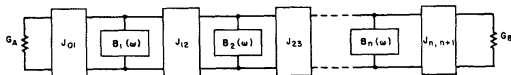
$$K_{01} = \sqrt{\frac{R_A \alpha_1 w}{\epsilon_0 \epsilon_1 \omega_1}} \quad (2) \quad \left. K_{j,j+1} \right|_{j=1 \text{ to } n-1} = \frac{w}{\omega_1} \sqrt{\frac{\alpha_j \alpha_{j+1}}{\epsilon_j \epsilon_{j+1}}} \quad (3)$$

$$K_{n,n+1} = \sqrt{\frac{R_B \alpha_n w}{\omega_1 \epsilon_n \epsilon_{n+1}}} \quad (4) \quad w = \text{fractional bandwidth or } \approx \frac{\omega_2 - \omega_1}{\omega_0} \quad (5)$$

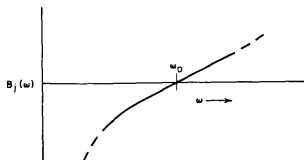


Filtros de cavidades directamente acopladas II

$$\omega'_1 = 1, b_j = \sqrt{C_j/L_j}$$



(a) A GENERALIZED, BAND-PASS FILTER CIRCUIT USING ADMITTANCE INVERTERS



(b) SUSCEPTANCE OF j th RESONATOR

A-3527-104

$$\beta_j = \left. \frac{\omega_0}{2} \frac{dB_j(\omega)}{d\omega} \right|_{\omega=\omega_0} \quad \text{mhos} \quad (1)$$

= Susceptance Slope Parameter

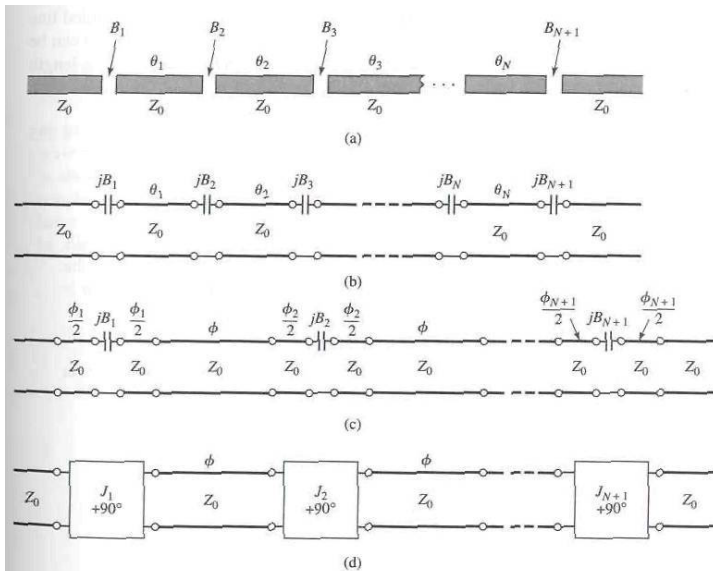
$$J_{01} = \sqrt{\frac{G_A \beta_1 w}{\epsilon_0 \epsilon_1 \omega'_1}} \quad (2) \quad \left. J_{j,j+1} \right|_{j=1 \text{ to } n-1} = \frac{w}{\omega'_1} \sqrt{\frac{\beta_j \beta_{j+1}}{\epsilon_j \epsilon_{j+1}}} \quad (3)$$

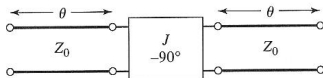
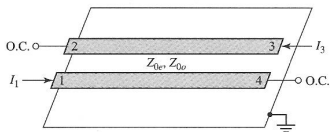
$$J_{n,n+1} = \sqrt{\frac{G_B \beta_n w}{\omega'_1 \epsilon_n \epsilon_{n+1}}} \quad (4) \quad w = \text{fractional bandwidth} \quad \text{or} \quad \approx \frac{\omega_2 - \omega_1}{\omega_0} \quad (5)$$



Filtros de cavidades directamente acopladas

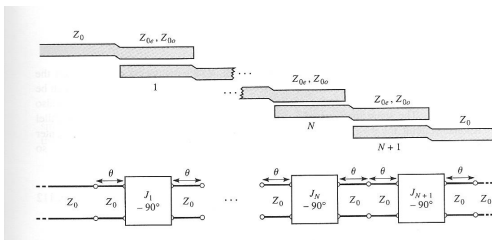
Acoplo por capacidad





$$Z_{0e} = Z_0[1 + JZ_0 + (JZ_0)^2]$$

$$Z_{0o} = Z_0[1 - JZ_0 + (JZ_0)^2]$$





Filtros de cavidades directamente acopladas

Cavidades en guía acopladas por postes inductivos

